

Question de cours

Le rapport gyromagnétique

1. $\vec{L} = \vec{r} \wedge m \vec{v}$ et $\vec{\mu} = \frac{1}{2} \vec{r} \wedge q \vec{v}$ donne $\vec{\mu} = \frac{q}{2m} \vec{L}$
 soit $\gamma_d = \frac{q}{2m}$

2. L'expérience de Stern et Gerlach. $\vec{S} \cdot \vec{\mu} \rightarrow \pm \frac{\hbar}{2}$

3. Les projections de $\vec{\mu}$ sont $\gamma(\pm \hbar/2) = \pm \mu_B$ avec $\mu_B = \frac{g \hbar}{4m}$
 ordre de grandeur: $\mu_B \approx \frac{10^{-19} 10^{-34}}{10^{-30}} = 10^{-23} \text{ JT}^{-1}$

Oscillations anharmoniques - théorie des perturbations.

$$\begin{aligned} \textcircled{1} \quad E_0^{(1)} &= \langle \varphi_0 | \hat{H}_1 | \varphi_0 \rangle = \int_{\mathbb{R}} |\varphi_0(q)|^2 q^4 dq \\ &= \left(\frac{1}{\pi \tau^2} \right)^{1/2} \int_{\mathbb{R}} e^{-\frac{q^2}{\tau^2}} q^4 dq = \frac{\tau^5}{(\pi \tau^2)^{1/2}} \underbrace{\left(\int_{\mathbb{R}} e^{-x^2} x^4 dx \right)}_{\frac{3\sqrt{\pi}}{4}} = \frac{3}{4} \tau^4 \end{aligned}$$

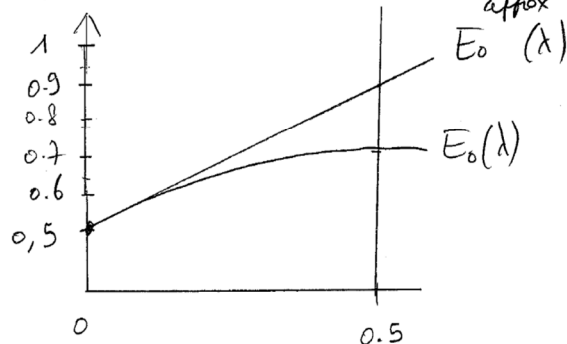
on a posé $x = \frac{q}{\tau}$.

$$\textcircled{2} \quad \text{on a obtenu} \quad E_0^{(\text{approx})}(\lambda) = E_0 + \lambda \cdot E_0^{(1)}$$

on a $\tau = 1$.

$$= \frac{1}{2} + \lambda \cdot \frac{3}{4} = 0.5 + 0.75 \times \lambda$$

$$E_0(x)$$



E₀^{approx}(x) est tangent à E₀(x) en $\lambda = 0$.

Effet de la taille finie du proton

$$\hat{H}' = \hat{H} + \hat{W} \quad \text{donc}$$

$$\hat{W} = \begin{cases} \frac{e^2}{2r_0} \left[\left(\frac{r}{r_0} \right)^2 - 3 \right] + \frac{e^2}{r} = \frac{e^2}{2r_0} \left[\left(\frac{r}{r_0} \right)^2 + 2 \frac{r_0}{r} - 3 \right] \\ 0 \quad \text{sinon} \end{cases}$$

$$\text{Il faut calculer } \langle \Psi_p | \hat{W} | \Psi_p \rangle = \frac{e^2 c^2}{2r_0} \int_0^{r_0} 4\pi r^2 dr e^{-2\beta r} \left(\left(\frac{r}{r_0} \right)^2 + 2 \frac{r_0}{r} - 3 \right)$$

$$= 2\pi \frac{e^2 \beta^3}{r_0 \pi} \int_0^{r_0} dr e^{-2\beta r} \left(\frac{r^4}{r_0^2} + 2r_0 r - 3r^2 \right)$$

comme $r \ll r_0$ et $r_0 \ll a_B$
on prend $e^{-2\beta r} \approx 1$

$$= 2 \frac{e^2 \beta^3}{r_0} \left[\frac{1}{5} \frac{r_0^5}{r_0^2} + r_0 r_0^2 - r_0^3 \right] = \frac{2}{5} e^2 r_0^2 \beta^3$$

soit $E'(\beta) = E(\beta) + \frac{2}{5} e^2 r_0^2 \beta^3$

faisons $\frac{dE'}{d\beta} = 0 = \frac{k^2}{m} \beta - e^2 + \frac{6}{5} e^2 r_0^2 \beta^2 \Leftrightarrow \frac{6}{5} r_0^2 \beta^2 + a_B \beta - 1 = 0$

comme $r_0 \ll a_B$, $\beta \approx 1/a_B$ à l'ordre 0 en r_0/a_B et on peut écrire $\beta \approx 1/a_B \left(1 - \frac{6}{5} \frac{r_0^2}{a_B^2} \beta^2 \right)$ à l'ordre 0

soit $\beta \approx \frac{1}{a_B} \left(1 - \frac{6}{5} \left(\frac{r_0}{a_B} \right)^2 \right)$

le nouveau rayon est donc $a'_B = \frac{a_B}{1 - \frac{6}{5} \left(\frac{r_0}{a_B} \right)^2} \Rightarrow a'_B = a_B \left(1 + \frac{6}{5} \left(\frac{r_0}{a_B} \right)^2 \right) > a_B$

l'électron est donc en moyenne plus loin du proton que a_B

la correction est en $\left(\frac{r_0}{a_B} \right)^2 \approx \left(\frac{10^{-15}}{45 \cdot 10^{-10}} \right)^2 \approx 4 \cdot 10^{-10} \ll 1 \Rightarrow$ difficile à mesurer!

Cependant, ce genre de correction est mesuré et permet d'accéder à la taille du proton.

Règles de sélection et spectre d'absorption

14. on écrit

$$\langle \nu', l', m' | (d_0 + d_1 \hat{n}) \cos \theta | \nu, l, m \rangle = \langle \nu' | d_0 + d_1 \hat{n} | \nu \rangle \times \langle \nu', m' | \cos \theta | l, m \rangle$$

n'agit que sur ν donc sur les $| \nu \rangle$ et sur les $| l, m \rangle$

sur les angles $\cos \theta$ donc sur les $| l, m \rangle$

produit tensoriel

15. pour l'élément de matrice $\langle \nu' | d_0 + d_1 \hat{n} | \nu \rangle = \langle \nu' | \nu \rangle d_0 + \langle \nu' | \hat{n} | \nu \rangle d_1$

\hat{n} n'a pas de sens

et $\langle \nu | \hat{n} | \nu' \rangle = \langle \nu | a + a^\dagger | \nu' \rangle$ sens

et $\begin{cases} \langle \nu | a | \nu' \rangle = \langle \nu | \nu' - 1 \rangle & \text{car } a | \nu' \rangle = | \nu' - 1 \rangle \\ \langle \nu | a^\dagger | \nu' \rangle = \langle \nu | \nu' + 1 \rangle & \text{car } a^\dagger | \nu' \rangle = | \nu' + 1 \rangle \end{cases}$

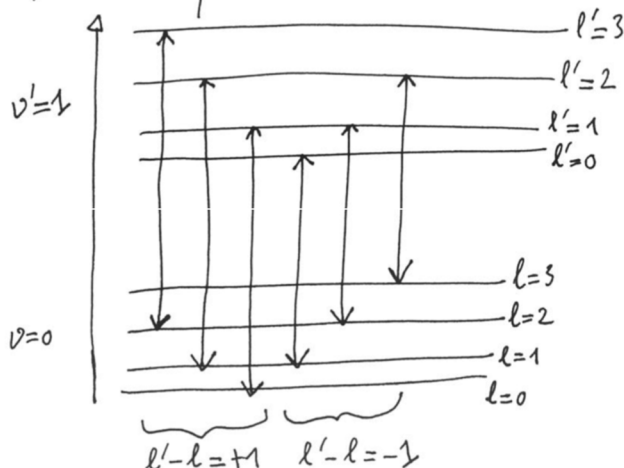
donc il y aura un terme $\delta_{\nu, \nu'-1}$ et $\delta_{\nu, \nu'+1}$

$\nu = \nu' - 1$ $\nu = \nu' + 1$

on aura donc pour les transitions $\boxed{\nu' - \nu = -1, 0, 1}$

16. Les fonctions delta $\delta_{mm'}$ donnent $m = m'$ puis $\delta_{l', l-1}$ donne $l' = l-1$ et $\delta_{l', l+1}$ donne $l' = l+1$ soit $\boxed{l' - l = -1, 1}$

17. transitions entre $\nu = 0$ et $\nu' = 1$, on a tous les couples possibles de l, l' tels que $l' - l = -1, 1$



18. La fréquence ν correspond à une transition est $\hbar \nu = E_{\nu', l'} - E_{\nu, l}$

$$\text{pour } l' = l+1, \text{ on a } h\nu'_L = \hbar\omega + B\{l(l+1) - l(l+1)\} = \frac{\hbar\omega + 2B(l+1)}{2} \quad [\text{branche P}]$$

$$\text{pour } l' = l-1, \text{ on a } h\nu'_L = \hbar\omega + B\{l(l-1) - l(l+1)\} = \frac{\hbar\omega - 2Bl}{2} \quad [\text{branche R}]$$

Sur la figure, le nombre d'onde est $\sigma = 1/\lambda = \nu_L/c$ et on observe bien les deux branches se développant autour de $\boxed{\sigma_0 = \omega/2\pi c}$
 Les raies sont typiquement espacées de $\boxed{\Delta\sigma = 2B/hc}$